

## テスト生成における並列処理の最適なシステム構成について

井上 智生

米澤 友紀

藤原 秀雄

明治大学 理工学部

神奈川県川崎市多摩区東三田1-1-1

あらまし 本稿では、汎用コンピュータの疎結合分散型ネットワークを用いたテスト生成の並列処理を提案する。分散型システムにおけるプロセッサ数と処理時間の関係について考察し、最小の処理時間を得るために最適なプロセッサ数について解析する。さらに、ISCASベンチマーク回路を用いた、ワークステーションから成るネットワーク上での実験結果を示す。

和文キーワード テスト生成、並列処理、マルチプロセッサ、故障並列、最適プロセッサ数

## An Optimal Scheme of Parallel Processing for Test Generation in a Distributed System

*Tomoo INOUE*

*Tomonori YONEZAWA*

*Hideo FUJIWARA*

Department of Computer Science  
Meiji University

1-1-1 Higashimita Tama-ku  
Kawasaki-shi Kanagawa-ken

**Abstract** In this paper, we present an approach to parallel processing of test generation for logic circuits in a loosely-coupled distributed network of general purpose computers. We consider the relation between the total processing time and the number of processors, and analyze the optimal number of the processors which minimizes the total processing time in the system. Further, we show experimental results based on an implementation on a network of SUN workstations using the ISCAS benchmark circuits.

英文 key words Test generation, Parallel processing, Multiple processor, Fault parallel, Optimal number of processors

## 1はじめに

論理回路のテスト生成問題は、組み合わせ回路でさえNP困難であるために[1][2]、その処理には多くの時間を要する。テスト生成のアルゴリズムとして、PODEM[3]、FAN[4]、SOCRATES[5]などの効率の良いものが報告されているが、今日の大規模化された論理回路に対しては、その効果に限界がある。

より高速に処理を行う方法の一つとして、マルチプロセッサシステムを用いた並列分散処理がある。並列処理では、与えられた問題をどのように分割して各プロセッサに割り当てるかによって、その処理方法をいくつかに分類することができる。

テスト生成の並列処理についてもいくつかの方法が報告されている[6]-[13]。[11]では、一つの故障に対するテストパターンを生成するときに作られる決定木を分割して各プロセッサへ割り当てる探索並列法について、[6], [9]では、与えられた回路を部分回路に分割して各プロセッサへ割り当て、テスト生成を行う回路並列法について報告されている。また、[8]では、異なる発見的手法をそれぞれのプロセッサで用いながら、一つの故障についてテスト生成を行う方策並列法も報告されている。筆者らは[10]において、汎用コンピュータの疎結合分散型ネットワークを用いた、故障集合を分割して各プロセッサへ割り当てる故障並列法によるテスト生成の並列処理を提案し、最適粒度（一回の通信でプロセッサに割り当てられる部分問題の大きさ）とスピードアップ率について解析を行っている。

本稿では、[10]で示したテスト生成の並列処理システムにおけるプロセッサ数と総処理時間の関係について考察する。[10]で提案されている分散型システムにおける最適なプロセッサ数について解析し、より多くのプロセッサを用いてより高速の処理を可能にするシステムの構成方法について解析する。また、これらの解析を実験によって確認する。

## 2 クライアント・サーバモデルにおけるテスト生成処理

### 2.1 CSモデルの構成

クライアント・サーバモデル（Client-Serverモデル、以下、CSモデルと呼ぶ）の構成を図2.1に示す。一台のクライアント・プロセッサとN台のサーバ・プロセッサは、一本の疎結合分散型ネットワークによって接続されている。それぞれのプロセッサは汎用コンピュータから成る。

ここで取り扱う問題はテスト生成である。したがって目標は与えられた回路に定義された故障に対するテストパターン生成であり、問題の領域はその故障集合となる。CSモデルにおけるテスト生成処理の流れは次のようになる。

クライアントは故障集合を故障表の形で管理する。クライアントは故障表の中から未処理の故障を複数個取り出し、故障表とともにサーバへ転送する。この故障をターゲット故障と呼ぶ。

サーバは、クライアントから受け取ったターゲット故障の中から、一個の故障を取り出し、その故障に対するテストパターン生成を行う。そして、生成されたパターンを用いて、ターゲット故障だけでなく、故障表中の未処理の故障すべてを対象に故障シミュレーションを行う。サーバはクライアントから受け取ったターゲット故障がすべて処理されるまでこれを繰り返し、結果をクライアントへ返送する。

クライアントはサーバからの結果をもとに故障表を更新し、新たなターゲット故障をサーバへ転送する。クライアントは、故障表中のすべての故障が処理されるまでこれを繰り返す。

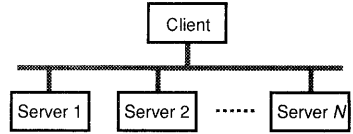


図2.1 CSモデルの構成

### 2.2 CSモデルにおける問題の定式化

ここではCSモデルにおけるテスト生成問題を定式化する。与えられた回路の全故障数をMとする。故障 $f_i$ に対するテストパターン生成処理を故障 $f_i$ に対する処理と呼ぶ。故障 $f_i$ に対する処理の結果は、(1)故障 $f_i$ は生成されたテストパターンによって検出される、(2)故障 $f_i$ は冗長である、(3)故障 $f_i$ に対する処理は、バケットラックの制限を越えたために打ち切られた、のうちのいずれかとなる。

サーバ $S_j$ における故障 $f_i$ に対する処理時間、言い換えれば、サーバ $S_j$ が故障 $f_i$ に対するテストパターン生成処理を完了するのに要する時間を $\tau_{ij}$ とする。故障 $f_i$ に対する処理がサーバ $S_j$ に割り当てられる確率を $\delta_{ij}$ とする。故障 $f_i$ に対する処理が終了した後、サーバ $S_j$ がクライアントと通信する確率を $\lambda_{ij}$ とする。クライアント・サーバ間の、データ転送に要する時間と競合による待ち時間を含めた平均通信時間を $\tau_c$ とする。

これらの定義により、サーバ $S_j$ が割り当てられた全処理を完了するのに必要な平均時間は、

$$T_j = \sum_{i=1}^M \delta_{ij} (\tau_{ij} + \lambda_{ij} \tau_c) \quad (2.1)$$

すべての故障に対する処理が完了するのに必要な平均処理時間は、サーバ $S_j$ の処理時間の最大値

$$T = \max \{ T_j \} \quad (2.2)$$

で表される。

#### 均質問題の仮定

CSモデルにおいて最小の処理時間を得るためにには、各サーバへの負荷が均等になることが重要であるが、それぞれの故障に対するテスト生成処理の困難さを前もって知ることは難しい。ここでは、[10]と同様に、以下に示すような問題の均質性を仮定する。

(1) すべてのサーバの処理性能は等しい.

$$\tau_{ij} = \tau_i \quad (2.3)$$

(2) 故障 $f_i$ に対する処理がサーバ $S_j$ に割り当てられる確率は $j$ に無関係で、どの故障に対しても等確率である.

$$\delta_{ij} = \delta_i \quad (2.4)$$

通信確率:  $\lambda_{ij}$

クライアントからサーバ $S_j$ への一回の通信で送られるターゲット故障数を $m$ とする. サーバ $S_j$ は $m$ 個のターゲット故障に対する処理を終えた後、クライアントと通信する. すなわち、故障 $f_i$ に対する処理の後、サーバ $S_j$ とクライアントの間で通信が行われる確率は、

$$\lambda_{ij} = \frac{1}{m} \quad (2.5)$$

となる.

故障 $f_i$ に対する処理がサーバ $S_j$ に

割り当てられる確率:  $\delta_{ij}$

クライアントは故障表中の処理されていない故障表から未処理の故障を $m$ 個取り出し、それをターゲット故障としてサーバへ転送する. サーバはクライアントから受け取った $m$ 個のターゲット故障のうちから一個を取り出し、その故障に対するテストパターンを生成する. そして生成されたテストパターンを用いて、 $m$ 個のターゲット故障だけでなく、クライアントから受け取った故障表中の未処理の故障すべてを対象に故障シミュレーションを行う. サーバはクライアントから受け取った $m$ 個のターゲット故障に対する処理がすべて終了するまでこれを繰り返す.

このとき、 $m$ 個のターゲット故障に対する処理によって新たに $\rho m$ 個の故障が処理される（検出される、または冗長と判定される）と仮定する. この $\rho$ を新たに処理される故障の比と呼ぶ. すなわち、

$$\rho = \frac{\text{サーバあたりの新たに処理される故障数}(\rho m)}{\text{サーバあたりのターゲット故障数}(m)}$$

この比 $\rho$ は処理が進むにつれて変化する.  $i$ 番目の処理が行われるときの新たに処理される故障の比を $\rho_i$ と表す.

故障 $f_i$ に対する処理が $N$ 台のうちのいざれかのサーバで行われる確率は、

$$\sum_{j=1}^N \delta_{ij} = \frac{1}{\rho_i} \quad (2.6)$$

一方、均質問題の仮定  $\delta_{ij} = \delta_i$  より、

$$\sum_{j=1}^N \delta_{ij} = \sum_{j=1}^N \delta_i = N \delta_i \quad (2.7)$$

したがって、故障 $f_i$ に対する処理がサーバ $S_j$ に割り当てられる確率は、

$$\delta_{ij} = \delta_i = \frac{1}{N \rho_i} \quad (2.8)$$

となる.

新たに処理される故障の比:  $\rho_i$

$i$ 番目に処理される故障 $f_i$ が処理されると新たに $\rho_i$ の故障が処理される. この $\rho_i$ は、故障シミュレーションの性

質から、テスト生成処理の開始直後 ( $i$ が小さいとき) は大きい値をとるが、処理が進むにつれて ( $i$ が大きくなるにつれて) 急速に減少していく.

また、クライアントはサーバから結果を受け取ると故障表を更新する. このとき、複数のサーバによって同時に複数の処理が進められているため、異なるサーバ間で同一の故障を処理することがあり得る. この処理をオーバーラップ処理と呼ぶ. このオーバーラップ処理は、サーバ数が1の時は発生しないが、サーバ数が2, 3, ... と増加するほど、また、ターゲット故障数 $m$ が大きいほど増加すると考えられる.

これらを考慮して、 $\rho_i$ は、

$$\rho_i = \frac{1}{r_0 + r_1 i + r_2 m (N - 1)} \quad (2.9)$$

$(r_0, r_1, r_2$  は定数)

のように表すことができる.

通信時間:  $\tau_c$

クライアント・サーバ間で行われる通信一回に要する時間は、次に示す要素から成り立つと考えられる.

- (1) クライアント・サーバ間で転送されるデータは故障表であり、そのサイズは不变である. よって転送されるデータ量は一定で、それに要する時間は一定である.
- (2) CSモデルにおける通信はクライアントとサーバの間でのみ行われる. 一台のサーバがクライアントと通信を行っている間は、その通信が終了するまで、他のサーバはクライアントと通信することはできずに待ち状態となる. このサーバ間の通信競合は、接続されているサーバ数 $N$ に比例して大きくなる.

これらの仮定により、クライアント・サーバ間で行われる通信一回あたりの平均時間は、

$$\tau_c = t_0 + t_1 N \quad (2.10)$$

$(t_0, t_1$  は定数)

となる.

総処理時間:  $T$

以上の定義および仮定より、一台のクライアントと $N$ 台のサーバから成るCSモデルにおけるテスト生成の総処理時間は、

$$T = T_f = \sum_{i=1}^M \frac{1}{N} (r_0 + r_1 i + r_2 m (N - 1)) \left( \tau_c + \frac{1}{m} (t_0 + t_1 N) \right) \quad (2.11)$$

すべての故障に対する処理の平均

$$\tau = \frac{1}{M} \sum_{i=1}^M \tau_i \quad (2.12)$$

を用いて表せば、

$$T = \frac{M}{N} \left( r_0 + r_1 \frac{M+1}{2} + r_2 m (N - 1) \right) \left( \tau + \frac{1}{m} (t_0 + t_1 N) \right) \quad (2.13)$$

となる. 総処理時間 $T$ をサーバ数 $N$ の関数として書き換えれば、

$$T = \frac{M}{N} (c_0 N + c_1) (c_2 N + c_3) \quad (2.14)$$

$$c_0 = r_2 m, \quad c_1 = r_0 + r_1 \frac{M+1}{2} - r_2 m,$$

$$c_2 = \frac{t_1}{m}, \quad c_3 = \tau + \frac{t_0}{m}$$

この式(2.14)をNで偏微分すると、

$$\frac{\partial T}{\partial N} = M \left( c_0 c_2 - \frac{c_1 c_3}{N^2} \right) \quad (2.15)$$

これよりサーバ数が、

$$N_{\text{opt}} = \sqrt{\frac{c_1 c_3}{c_0 c_2}} \quad (2.16)$$

$$= \sqrt{\frac{(r_0 + r_1 \frac{M+1}{2} - r_2 m)(\tau + \frac{t_0}{m})}{r_2 t_1}} \quad (2.17)$$

のとき、CSモデルにおける最小総処理時間

$$T_{\min} = M (\sqrt{c_0 c_3} + \sqrt{c_1 c_2})^2 \quad (2.18)$$

$$= M \left( \sqrt{r_2 m (\tau + \frac{t_0}{m})} + \sqrt{(r_0 + r_1 \frac{M+1}{2} - r_2 m) (\frac{t_1}{m})} \right)^2 \quad (2.19)$$

が得られる。

図2.2に、CSモデルにおける総処理時間Tをサーバ数Nの関数として示す。

サーバ数Nすなわちプロセッサ数を増加させていくと、総処理時間Tは次第に減少していき、サーバ数がN<sub>opt</sub>のとき総処理時間は最小となる。しかし、サーバ数がN<sub>opt</sub>よりも大きくなると、総処理時間Tは増加する。

CSモデルでは、N<sub>opt</sub>よりも多くのプロセッサが与えられても、より小さい総処理時間を得ることはできない。式(2.17), (2.19)より、より多くのサーバ数でより小さい総処理時間を得るには、通信時間を表す項のうちの定数t<sub>1</sub>を小さくすればよいことがわかる。この定数t<sub>1</sub>は、クライアント・サーバ間の通信におけるサーバどうしの通信競合を表している。

サーバ間の通信競合は次の2つからなると考えられる。

- (1) 通信経路の競合：一台のクライアントとN台のサーバは一本の通信経路によって接続されているために、一台のサーバがクライアントと通信を行っている間は、通信経路がふさがれているために、他のサーバとは通信することができない。
- (2) クライアントの競合：クライアントはサーバから結果を受け取ると、その結果をもとに故障表を更新

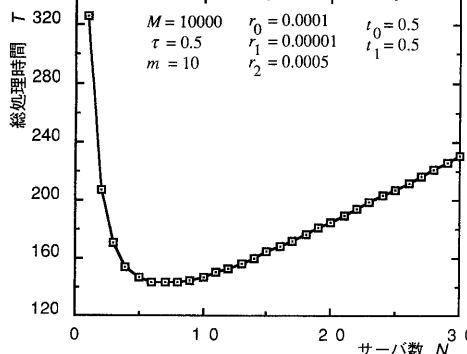


図2.2 サーバ数Nに対する総処理時間T

し、次の新しいタスクをサーバへ転送する。サーバは、クライアントへ結果を送ってから次のタスクを受け取るまでは待ち状態となる。またこの間、他のサーバもクライアントと通信を行うことはできない。

これらはいずれもシステムのハードウェアに依存するものであり、特に(1)は、通信経路やオペレーティングシステムの性能から決まるために、容易に変化させることはできない。(2)は、サーバ数が大きくなることによって、クライアントへの負荷（故障表の管理などのタスク管理作業）が増大し、各サーバへの応答が追いつかない状況が発生すると思われる。したがって、クライアントへの負荷を軽減するようなシステムを構成することで、より多くのプロセッサを用いて、より小さい総処理時間を得ることができると考えられる。次章では、このシステム構成について考察する。

### 3 クライアント・エージェント・サーバ

#### モデルにおけるテスト生成処理

##### 3.1 CASモデルの構成

クライアント・エージェント・サーバモデル（Client-Agent-Serverモデル、以下CASモデルと呼ぶ）の構成を図3.1に示す。

一台のクライアント・プロセッサには、Na台のエージェント・プロセッサが、また、それぞれのエージェント・プロセッサにはNs台ずつのサーバ・プロセッサが接続されている。CSモデルと同様に、すべてのプロセッサは汎用コンピュータから成り、すべてのプロセッサは一本の疎結合分散型ネットワークによって接続されている。

CASモデルにおけるテスト生成処理の流れは以下のようになる。

クライアントは故障集合を故障表の形で管理する。クライアントは故障表の中から未処理の故障を複数個取り出し、それらをエージェントへのターゲット故障として、故障表とともにエージェントへ転送する。

ターゲット故障と最新の故障表を受け取ったエージェントは、その故障表をもとにエージェント自身の故障表を更新する。そして、そのターゲット故障の中から複数個の故障を選び出し、それらをサーバへのターゲット故障として、故障表とともにサーバへ転送する。

ターゲット故障を受け取ったサーバは、その故障の中から一個の故障を取り出し、その故障に対するテストパターンを生成処理を行い、その生成されたテストパターンを用いて、エージェントから受け取ったターゲット故障だけでなく、故障表中の未処理の故障すべてを対象に故障シミュレーションを行う。サーバは、エージェントから受け取ったターゲット故障に対する処理をすべて終えるまでこれを繰り返し、その結果をエージェントへ返送する。

エージェントはサーバからの結果を受け取ると、その結果をもとに自分の故障表を更新する。そして、クライアントから受け取ったターゲット故障の中から新たなターゲット故障を取り出し、サーバへ転送する。エ

エージェントはクライアントから受け取ったターゲット故障がすべて処理されるまでこれを繰り返し、その結果をクライアントへ返送する。

クライアントは、エージェントからの結果をもとに故障表を更新し、新たなターゲット故障をエージェントへ転送する。クライアントは、故障表中の故障がすべて処理されるまでこれを繰り返す。

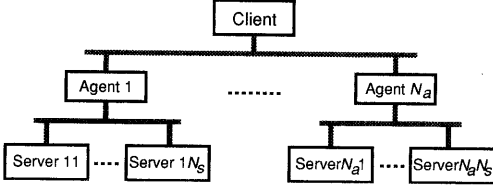


図3.1 CASモデルの構成

### 3.2 CASモデルにおける問題の定式化

CSモデルにおける問題の定式化と同様に、与えられた回路の全故障数を $M$ とする。 $j$ 番目のエージェント $A_j$ に接続された $k$ 番目のサーバをサーバ $S_{jk}$ と表す。サーバ $S_{jk}$ における故障 $f_i$ に対する処理時間を $\tau_{ijk}$ とする。故障 $f_i$ に対する処理がサーバ $S_{jk}$ に割り当てられる確率を $\delta_{ijk}$ とする。故障 $f_i$ に対する処理の後、サーバ $S_{jk}$ がエージェント $A_j$ と通信する確率を $\lambda_{sijk}$ 、エージェント $A_j$ がクライアントと通信する確率を $\lambda_{ajj}$ とする。クライアント・エージェント間の、競合による待ち時間を含めたデータ転送に要する平均時間を $\tau_{ca}$ 、エージェント・サーバ間の、競合による待ち時間を含めたデータ転送に要する平均時間を $\tau_{cs}$ とする。

これらの定義により、サーバ $S_{jk}$ が割り当てられた全処理を完了するのに必要な平均時間は、

$$T_{jk} = \sum_{i=1}^M \delta_{ijk} (\tau_i + \lambda_{ajj} \tau_{ca} + \lambda_{cijk} \tau_{cs}) \quad (3.1)$$

すべての故障に対する処理が完了するのに必要な平均処理時間は、サーバ $S_{jk}$ の処理時間の最大値

$$T = \max\{T_{jk}\} \quad (3.2)$$

で表される。

#### 均質問題の仮定

CSモデルと同様に均質問題を仮定する。すなわち、(1)すべてのサーバの処理性能は等しい。

$$\tau_{ijk} = \tau_i \quad (3.3)$$

(2)故障 $f_i$ に対する処理がサーバ $S_{jk}$ に割り当てられる確率は、 $j, k$ に無関係で、どの故障に対しても等確率である。

$$\delta_{ijk} = \delta_i \quad (3.4)$$

通信確率： $\lambda_{ajj}$ ,  $\lambda_{sijk}$

クライアントからエージェント $A_j$ への一回の通信で送られるターゲット故障数を $m_a$ とする。エージェントは $m_a$ 個に対する処理を接続されているサーバを利用して行った後、クライアントと通信する。すなわち、故障

$f_i$ に対する処理の後、エージェント $A_j$ がクライアントと通信する確率は、

$$\lambda_{ajj} = \frac{1}{m_a} \quad (3.5)$$

エージェント $A_j$ からサーバ $S_{jk}$ への一回の通信で送られるターゲット故障数を $m_s$ とする。サーバは $m_s$ 個のターゲット故障に対する処理を終えた後、エージェント $A_j$ と通信する。すなわち、故障 $f_i$ に対する処理の後、サーバ $S_{jk}$ がエージェント $A_j$ と通信する確率は、

$$\lambda_{sijk} = \frac{1}{m_s} \quad (3.6)$$

となる。

故障 $f_i$ がサーバ $S_{jk}$ に割り当てられる確率： $\delta_{ijk}$

クライアントは故障表中のまだ処理されていない故障の中から $m_a$ 個を取り出し、それらをターゲット故障としてエージェントへ転送する。エージェントは、クライアントから受け取った $m_a$ 個のターゲット故障の中から $m_s$ 個 ( $m_a \geq m_s$ ) を取り出し、それをターゲット故障としてサーバへ転送する。 $m_s$ 個のターゲット故障を受け取ったサーバは、CSモデルと同様に、それらの故障に対してテストパターン生成と故障シミュレーションの処理を行う。このときの新たに処理される故障の比をCSモデルにおける処理と同様に $\rho$ で表し、 $i$ 番目の処理が行われるときの新たに処理される故障の比を $\rho_i$ で表す。

故障 $f_i$ に対する処理がいずれかのサーバで行われる確率は、

$$\sum_{k=1}^{N_s} \sum_{j=1}^{N_a} \delta_{ijk} = \frac{1}{\rho_i} \quad (3.7)$$

均質問題の仮定、 $\delta_{ijk} = \delta_i$  より、

$$\sum_{k=1}^{N_s} \sum_{j=1}^{N_a} \delta_{ijk} = \sum_{k=1}^{N_s} \sum_{j=1}^{N_a} \delta_i = N_a N_s \delta_i \quad (3.8)$$

したがって、故障 $f_i$ がサーバ $S_{jk}$ に割り当てられる確率は、

$$\delta_{ijk} = \delta_i = \frac{1}{N_a N_s \rho_i} \quad (3.9)$$

となる。

新たに処理される故障の比： $\rho_i$

CASモデルにおける故障の比 $\rho_i$ は、CSモデルにおいて考慮されたサーバ間のオーバーラップ処理のほかに、エージェント間のオーバーラップ処理を考慮する必要がある。CASモデルでは、複数のエージェントが異なるサーバの処理の結果を、それぞれが所有する故障表によって管理しているために、エージェント間でのオーバーラップ処理が発生する。この数は、エージェント数 $N_a$ が大きくなるにつれて、また、クライアントからエージェントへのターゲット故障数 $m_a$ が大きくなるにつれて大きくなると考えられる。

したがって、CSモデルにおける新たに処理される故障の比（式(2.9)）をもとに、CASモデルにおける新たに

処理される故障の比は、

$$\rho_i = \frac{1}{r_0 + r_1 i + r_2 m_s (N_s - 1) + r_3 m_a (N_a - 1)} \quad (3.10)$$

$(r_0, r_1, r_2, r_3$  は定数)

となる。

通信時間： $\tau_{ca}, \tau_{cs}$

通信時間について、CSモデルにおける通信時間に関する仮定をもとに、以下を仮定する。

- (1) クライアント・エージェント間またはエージェント・サーバ間で一回に転送されるデータ量は一定。よってそれに要する時間は一定。
- (2) すべてのエージェントからクライアントへの通信要求はエージェント数に比例する。また、一台のエージェントとそれに接続されているサーバとの通信頻度はそのサーバ数に比例する。したがって、すべてのプロセッサを接続する一本の通信経路がふさがれることによって生じるクライアント・エージェント間、エージェント・サーバ間の通信待ち時間は、総エージェント数 $N_a$ と総サーバ数 $N_s N_s$ との和に比例する。
- (3) クライアントが行うタスク管理作業はエージェント数 $N_a$ に比例する。また、エージェントが行うタスク管理作業は、それぞれに接続されているサーバ数 $N_s$ に比例する。よってクライアントが作業中であるために生じるエージェント間のクライアント競合による待ち時間はエージェント数 $N_a$ に比例。また、エージェントが作業中であるために生じるサーバ間のエージェント競合による待ち時間はサーバ数 $N_s$ に比例。したがって、待ち時間を含めたクライアント・エージェント間の一回あたりの平均通信時間は、

$$\tau_{ca} = t_{a0} + t_{a1} N_a (N_s + 1) + t_{a2} N_a \quad (3.11)$$

$(t_{a0}, t_{a1}, t_{a2}$  は定数)

また、待ち時間を含めたエージェント・サーバ間の一回あたりの平均通信時間は、

$$\tau_{cs} = t_{s0} + t_{s1} N_a (N_s + 1) + t_{s2} N_s \quad (3.12)$$

$(t_{s0}, t_{s1}, t_{s2}$  は定数)

$$t_{a0} = t_{s0} = t_0, t_{a1} = t_{s1} = t_1, t_{a2} = t_{s2} = t_2 \text{ を仮定すれば、}$$

$$\tau_{ca} = t_0 + t_1 N_a (N_s + 1) + t_2 N_a \quad (3.13)$$

$$\tau_{cs} = t_0 + t_1 N_a (N_s + 1) + t_2 N_s \quad (3.14)$$

$(t_0, t_1, t_2$  は定数)

となる。

総処理時間： $T$

以上の定義、仮定および(2.12)より、CASモデルにおけるテスト生成処理時間 $T$ は、

$$\begin{aligned} T &= T_{jk} \\ &= \frac{M}{N_a N_s} (r_0 + r_1 i + r_2 m_s (N_s - 1) + r_3 m_a (N_a - 1)) \\ &\quad \cdot \left( \tau + \frac{1}{m_a} (t_0 + t_1 N_a (N_s + 1) + t_2 N_a) \right. \\ &\quad \left. + \frac{1}{m_s} (t_0 + t_1 N_a (N_s + 1) + t_2 N_s) \right) \end{aligned} \quad (3.15)$$

となる。この式をエージェント数 $N_a$ の関数として書き換えると、

$$T = \frac{M}{N_a N_s} (c_{a0} N_a + c_{a1}) (c_{a2} N_a + c_{a3}) \quad (3.16)$$

$$c_{a0} = r_3 m_a$$

$$c_{a1} = r_0 + r_1 \frac{M+1}{2} + r_2 m_s (N_s - 1) - r_3 m_a$$

$$c_{a2} = \left( \frac{1}{m_a} + \frac{1}{m_s} \right) t_1 (N_s + 1) + \frac{t_2}{m_a}$$

$$c_{a3} = \tau + \left( \frac{1}{m_a} + \frac{1}{m_s} \right) t_0 + \frac{t_2}{m_s} N_s$$

となり、CSモデルにおける、サーバ数 $N$ についての総処理時間の関数 $T$ と同様の形になる。

式(3.16)を、横軸にエージェント数 $N_a$ 、縦軸に総処理時間 $T$ のグラフとして、図3.2に示す。CSモデルと同様に、エージェント数 $N_a$ を増加させていくと総処理時間 $T$ は減少していく、エージェント数が、

$$N_{a\text{opt}} = \sqrt{\frac{c_{a1} c_{a3}}{c_{a0} c_{a2}}} \quad (3.17)$$

のとき、 $T$ は最小となる。そして、 $N_{a\text{opt}}$ を越えると $T$ は次第に増加してゆく。

このように、CASモデルにおけるクライアントとエージェントは、CSモデルにおけるクライアントとサーバの関係と同様の関係が成り立っていると考えられる。

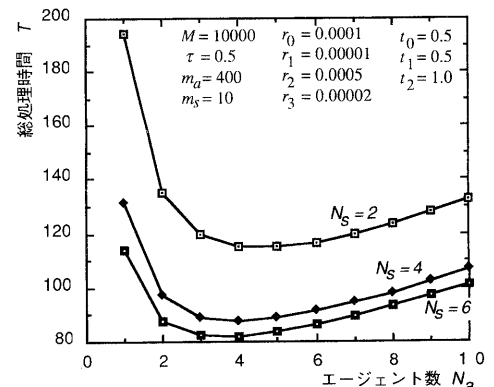


図3.2 エージェント数 $N_a$ に対する総処理時間 $T$

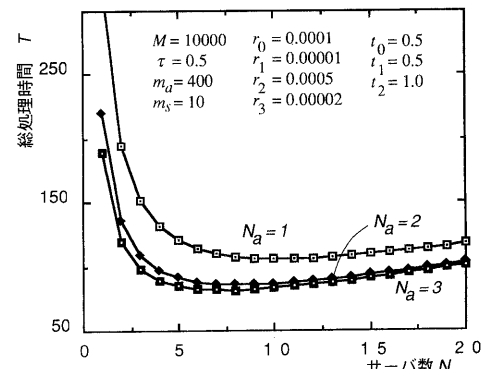


図3.3 サーバ数 $N_s$ に対する総処理時間 $T$

すなわち、CASモデルは、それぞれのサーバが $N_s$ 台のプロセッサによって高速化されたCSモデルと考えることができる。

また、式(3.15)をエージェント一台当たりのサーバ数 $N_s$ の関数として書き換えると、

$$\begin{aligned} T &= \frac{M}{N_a N_s} (c_{s0} N_s + c_{s1}) (c_{s2} N_s + c_{s3}) \quad (3.18) \\ c_{s0} &= r_2 m_s \\ c_{s1} &= r_0 + r_1 \frac{M+1}{2} - r_2 m_s + r_3 m_a (N_a - 1) \\ c_{s2} &= \left( \frac{1}{m_a} + \frac{1}{m_s} \right) t_1 N_a + \frac{t_2}{m_s} \\ c_{s3} &= \tau + \left( \frac{1}{m_a} + \frac{1}{m_s} \right) (t_0 + t_1 N_a) + \frac{t_2}{m_a} N_a \end{aligned}$$

となり、CSモデルにおける、サーバ数 $N$ についての総処理時間の関数 $T$ と同様の形で表される。

式(3.18)を、横軸にエージェント一台あたりのサーバ数 $N_s$ 、縦軸に総処理時間 $T$ のグラフとして、図3.3に示す。CSモデルと同様に、サーバ数 $N_s$ を増加させていくと総処理時間 $T$ は減少していく、サーバ数が、

$$N_{\text{sopt}} = \sqrt{\frac{c_{s1} c_{s3}}{c_{s0} c_{s2}}} \quad (3.19)$$

のとき、 $T$ は最小となる。そして、 $N_{\text{sopt}}$ を越えると $T$ は次第に増加してゆく。

このように、CASモデルにおけるエージェントとサーバとは、CSモデルにおけるクライアントとサーバの関係と同様の関係が成り立っていると考えられる。すなわち、CASモデルは、複数のCSモデルが一台のクライアントによって管理されていると考えることができる。

### 3.3 総プロセッサ数と総処理時間の関係

CASモデルにおける総プロセッサ数は、

$$\begin{aligned} N_{\text{total}} &= 1 + N_a + N_a N_s \\ &= 1 + N_a (N_s + 1) \quad (3.20) \end{aligned}$$

で表される。

横軸に総プロセッサ数 $N_{\text{total}}$ 、縦軸に総処理時間 $T$ をとり、エージェント数を変化させたときの曲線を図3.4に示す。総プロセッサ数を増加させていくと、図3.3に示したように、それぞれのエージェント数について最小総処理時間を描きながら、エージェント数が増加する

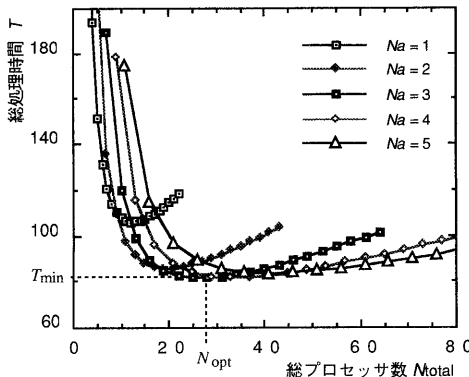


図3.4 総プロセッサ数 $N_{\text{total}}$ に対する総処理時間 $T$

につれて総処理時間は減少していく。そして、総プロセッサが $N_{\text{opt}}$ の時、総処理時間は最小となり、 $N_{\text{opt}}$ を越えると総処理時間は増加してゆく。すなわち、総プロセッサ数 $N$ に対する総処理時間の変化の様子もまた、CSモデルにおけるサーバ数に対する総処理時間の変化と同様の形を描いている。このようにエージェントを設定することで、CSモデルに比べて、より多くのプロセッサ数でより小さい総処理時間を得られることがわかる。

またこの図より、総プロセッサ数 $N_{\text{total}}$ が与えられた場合、最小の処理時間を得るための最適なエージェント数、およびサーバ数を得ることができる。例えば、図3.4において、与えられた総プロセッサ数 $N_{\text{total}} = 25$ のとき、エージェント数 $N_a = 3$ 、エージェントあたりのサーバ数 $N_s = 7$ のシステムを構成すれば最小の処理時間を得ることができる。

### 4 実験結果

CASモデルを実現し、実験を行った。クライアント、エージェント、サーバ、それぞれのプロセッサには、ワークステーションSUN4/LC (12.5MIPS, 8MBYTEメモリ)を使用し、すべてが一本のイーサネット(Ethernet)ネットワークによって接続されている。テストパターン生成アルゴリズムには、FAN[4]を用いた。実験には、ISCAS'89ベンチマーク回路[15]のS15850及びS9234をフルスキャン設計によって組み合わせ回路に変換したものを使用した。

クライアントからエージェントへの一回の通信で送られるターゲット故障数 $m_a$ 、エージェントからサーバへの一回の通信で送られるターゲット故障数 $m_s$ を一定にして、接続するエージェント数 $N_a$ 、サーバ数 $N_s$ の違いによる、総処理時間 $T$ の変化を調べた。

2つの回路の結果は同様の傾向を示したので、ここではS15850についてのみ示す。

**エージェント数と総処理時間の関係：**エージェント数に対する総処理時間の変化の様子を図4.1に示す。解析で示したように、いずれのサーバ数についても、最小の総処理時間を得る最適なエージェント数が存在している。

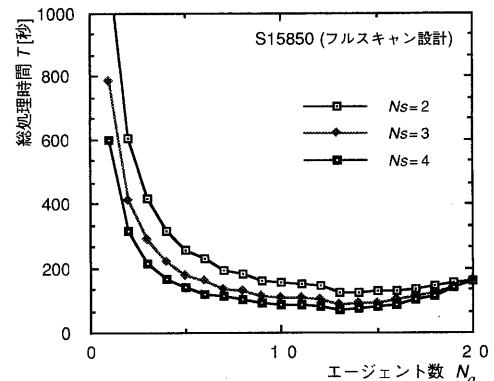


図4.1 エージェント数 $N_a$ に対する総処理時間 $T$

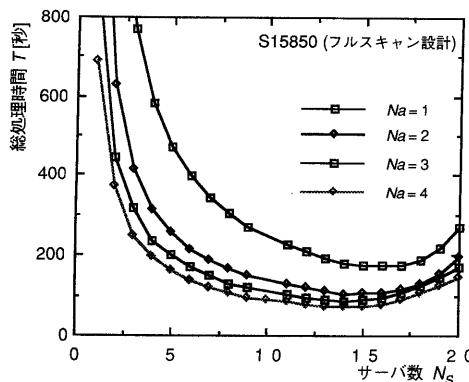


図4.2 エージェント数 $N_s$ に対する総処理時間 $T$

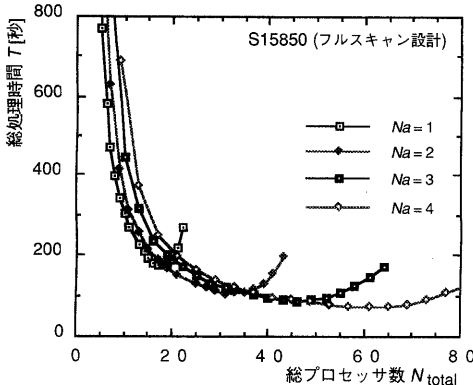


図4.3 総プロセッサ数 $N_{total}$ に対する総処理時間 $T$

サーバ数と総処理時間の関係：サーバ数に対する総処理時間の変化の様子を図4.2に示す。解析で示したように、いずれのエージェント数についても、最小の総処理時間を得る最適なサーバ数が存在している。

総プロセッサ数と総処理時間の関係：総プロセッサ数に対する総処理時間の変化の様子を図4.3に示す。それぞれのエージェント数について最適なサーバ数で最小総処理時間を示す曲線を描きながら、全体でまた、最小総処理時間を得る最適総プロセッサ数を示す曲線を描いているといえる。

## 5まとめ

本稿では、汎用コンピュータの疎結合分散型ネットワークを用いた故障並列法によるテスト生成の並列処理について述べた。

クライアント・サーバモデルにおけるテスト生成処理問題を定式化し、サーバ数（プロセッサ数）に対する総処理時間の変化について解析し、最小の総処理時間を得る最適なサーバ数が存在することを確かめた。

より多くのプロセッサを用いてより小さい総処理時間

を得るためにシステム構成としてクライアント・エージェント・サーバモデルを提案した。

クライアント・エージェント・サーバモデルにおけるテスト生成処理問題を定式化し、エージェント数、エージェントあたりのサーバ数、総プロセッサ数、それに対する総処理時間の変化について解析した。そして、与えられたプロセッサ数に対する最適なシステム構成が存在することを示し、実験によって確かめた。

## 参考文献

- [1] O. H. Ibarra and S. K. Sahni, "Polynomially complete fault detection problems," *IEEE Trans. Comput.*, vol. C-24, pp. 242-249, Mar. 1975.
- [2] H. Fujiwara and S. Toida, "The complexity of fault detection problems for combinational logic circuits," *IEEE Trans. Comput.*, vol. C-31, pp. 555-560, June 1982.
- [3] P. Goel, "An implicit enumeration algorithm to generate tests for combinational logic circuits," *IEEE Trans. Comput.*, vol. C-30, pp. 215-222, Mar. 1981.
- [4] H. Fujiwara and T. Shimono, "On the acceleration of test pattern generation algorithms," *IEEE Trans. Comput.*, vol. C-32, pp. 1137-1144, Dec. 1983.
- [5] M. H. Schulz and E. Auth, "Advanced automatic test pattern generation and redundancy identification techniques," *Dig. Papers, FTCS-18*, June 1988, pp. 30-35
- [6] G.A.Kramer, "Employing massive parallelism in digital ATPG algorithm," *Proc. 1983 Int'l Test Conf.*, pp. 108-114, 1983.
- [7] A.Motohara, K.Nishimura, H.Fujiwara and I.Shirakawa, "A parallel scheme for test pattern generation," *Proc. IEEE Int'l Conf. Computer-Aided Design*, pp.156-159, 1986.
- [8] S.J.Chandra and J.H.Patel, "Test generation in a parallel processing environment," *Proc. IEEE Int'l Conf. Computer Design*, pp. 11-14, 1988.
- [9] F.Hirose, K.Takayama, and N.Kawato, "A method to generate tests for combinational logic circuits using an ultra high speed logic simulator," *Proc. 1988 Int'l Test Conf.*, pp.102-107, 1988.
- [10] H.Fujiwara and T. Inoue, "Optimal granularity of test generation in a distributed system," *IEEE Trans. Computer-Aided Design*, Vol.9, No.8, pp.885-892, Aug. 1990.
- [11] S.Patil and P.Banerjee, "A parallel branch-and-bound algorithm for test generation," *IEEE Trans. Computer-Aided Design*, Vol.9, No.3, pp.313-322, March 1990.
- [12] S.Patil and P.Banerjee, "Performance trade-offs in a parallel test generation/fault simulation environment," *IEEE Trans. Computer-Aided Design*, Vol.10, No.12, pp.1542-1558, Dec. 1991.
- [13] S.Patil, P.Banerjee and J.H.Patel, "Parallel test generation for sequential circuits on general-purpose multiprocessors," *Proc. 28th ACM/IEEE Design Automation Conf.*, pp.155-159, 1991.
- [14] 下条, 宮原, 高島, "通信競合を含めたマルチプロセッサにおけるプロセス割当問題," 電子情報通信学会論文誌, vol. J68-D, No.5, pp.1049-1056, 1985年5月.
- [15] F. Brglez, D. Bryan and K.Kozminski, "Combinational profiles of sequential benchmark circuits," *Proc. Int'l Symp. Circuits and Systems*, IEEE Press, New York, 1989, pp. 1929-1934.